

3. さまざまなカーネル法

正定値カーネルによるデータ解析
— カーネル法の基礎と展開 —

福水健次

統計数理研究所／総合研究大学院大学

統計数理研究所 公開講座

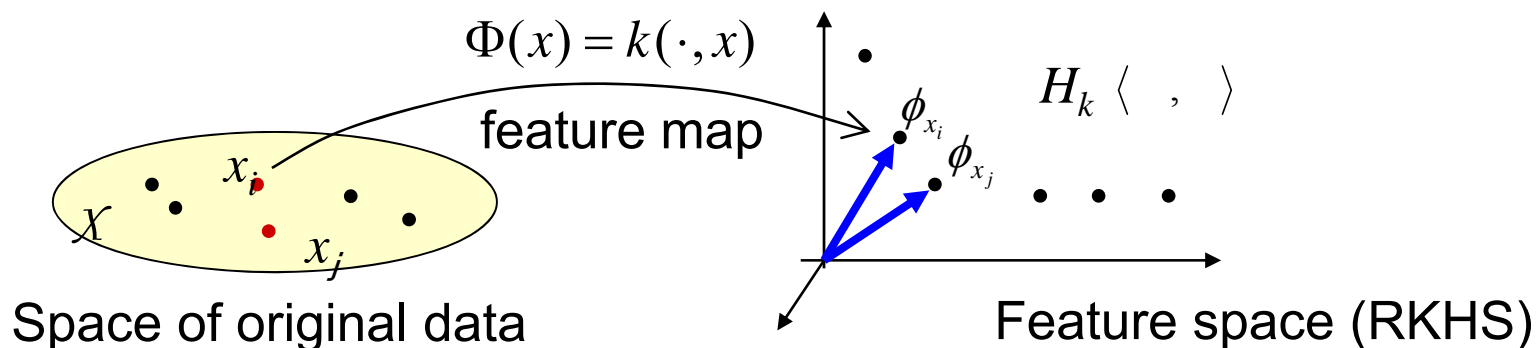
2011年1月13,14日



概要

- Kernel PCAの応用
- Kernel CCA (カーネル正準相関分析)
- サポートベクターマシンの基礎
- カーネル法の方法論
 - 共通する方法
 - Representer定理
- その他の話題
 - カーネルの選択
 - 低ランク近似

カーネル法のアイデア



- データの非線形特徴・高次モーメントを表現するため、特徴写像によってデータを特徴空間(RKHS)に写像し、特徴空間で線形のデータ解析アルゴリズムを適用する。

- 特徴写像: $\Phi : \Omega \rightarrow H_k, \quad \Phi(x) = k(\cdot, x)$

- 高次元(無限次元)特徴空間で、内積の簡単な計算が可能。

$$\langle \Phi(x), \Phi(y) \rangle = k(x, y) \quad (\text{カーネルトリック})$$

特徴写像

- 正定値カーネルによる高次モーメントの抽出

Example

– Polynomial kernel: $k(y, x) = (yx + 1)^d$ on \mathbf{R}

– 特徴写像

$$\begin{aligned}\Phi(X) &= k(u, X) = (uX + 1)^d \\ &= X^d u^d + a_{d-1} X^{d-1} u^{d-1} + a_{d-2} X^{d-2} u^{d-2} + \dots + a_1 Xu + 1\end{aligned}$$

– 基底 $\{1, u, u^2, \dots, u^d\}$ を用いると、ベクトル成分表示は

$$\Phi(X) \sim (1, a_1 X, \dots, a_{d-1} X^{d-1}, X^d)$$

高次統計量 X, X^2, \dots, X^d を含む.

- ガウスカーネルなど、他の非線形カーネルでも事情は同様.
- ただし、カーネル法では成分表示／基底展開せずに内積計算が可能.

概要

- Kernel PCAの応用
- Kernel CCA (カーネル正準相関分析)
- サポートベクターマシンの基礎
- カーネル法の方法論
 - 共通する方法
 - Representer定理
- その他の話題
 - カーネルの選択
 - 低ランク近似

カーネルPCA(復習)

– 特徴写像 $X_1, \dots, X_N \rightarrow \Phi(X_1), \dots, \Phi(X_N)$

– 目的関数: 特徴空間でのPCA

$$\max_{\|f\|=1} : \text{Var}[\langle f, \Phi(X) \rangle] = \frac{1}{N} \sum_{i=1}^N \left\{ \langle f, \tilde{\Phi}(X_i) \rangle \right\}^2 = \underline{\text{Var}[f(X)]}$$

$$\text{ただし} \quad \tilde{\Phi}(X_i) = \Phi(X_i) - \frac{1}{N} \sum_{j=1}^N \Phi(X_j)$$

– (中心化された)データの線形和で解が求まる $f = \sum_{i=1}^N c_i \tilde{\Phi}(X_i)$

– 固有値問題: 中心化グラム行列の固有値分解

$$\tilde{K} = \sum_{i=1}^N \lambda_i u_i u_i^T$$

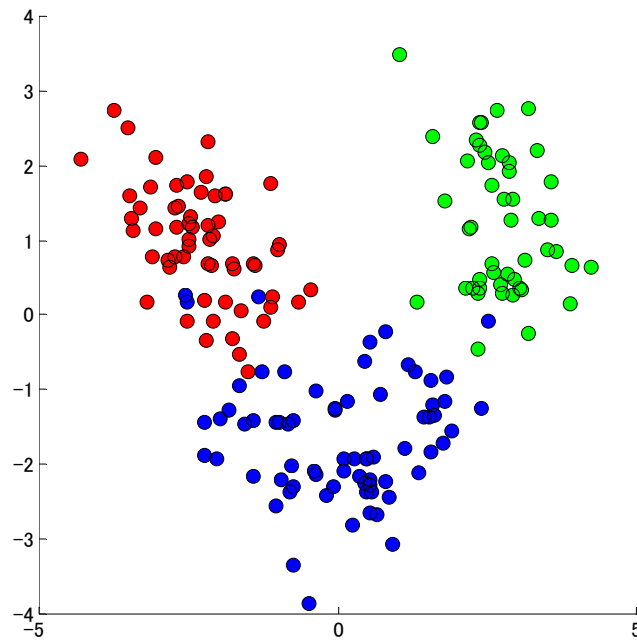
– 解

• 第 p 主軸 $f^p = \sum_{i=1}^N c_p^i \tilde{\Phi}(X_i), \quad c_p = \frac{1}{\sqrt{\lambda_p}} u_p$

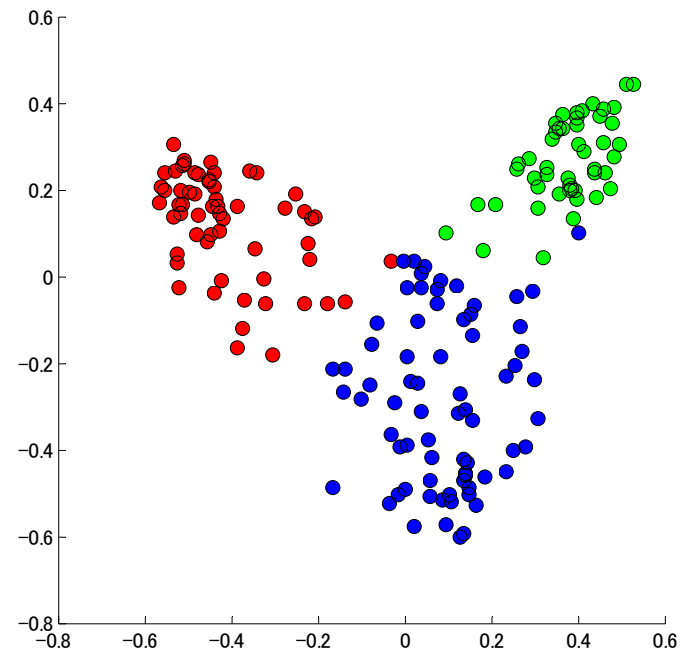
• データ X_i の第 p 主成分 $= \langle f^p, \tilde{\Phi}(X_i) \rangle = \sqrt{\lambda_p} u_p^T X_i$

カーネルPCAの応用

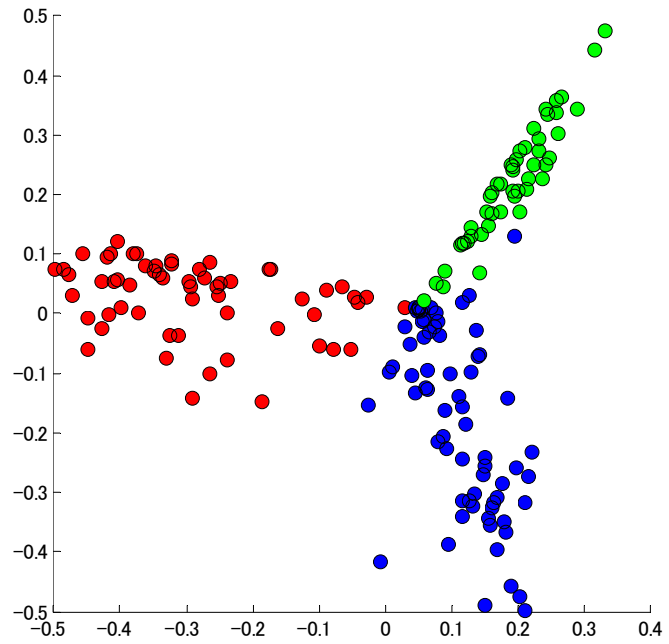
- 'Wine' データ (UCI Machine Learning Repository)
 - 13次元 (連続値), 178データ, 3種類 (産地) のワインの化学成分に関する属性データ
 - 2つの主成分を取った (3クラスの色は参考に付けたもの, Kernel PCAには用いていない)



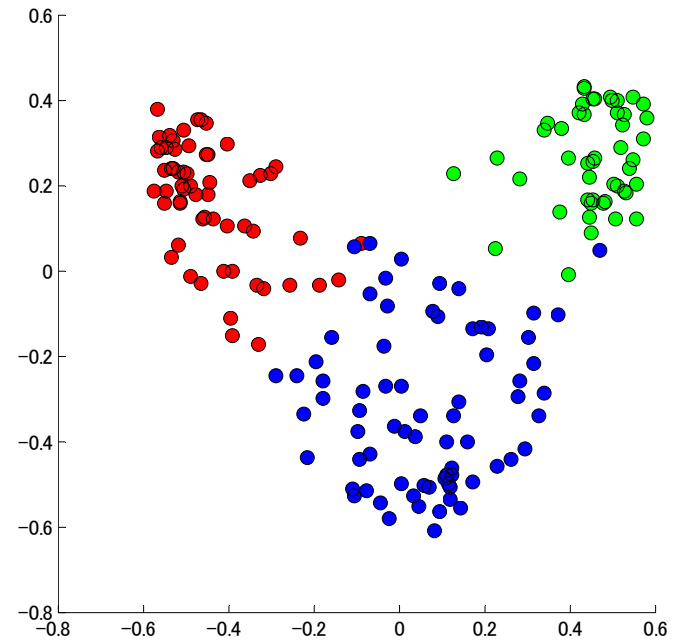
PCA (線形)



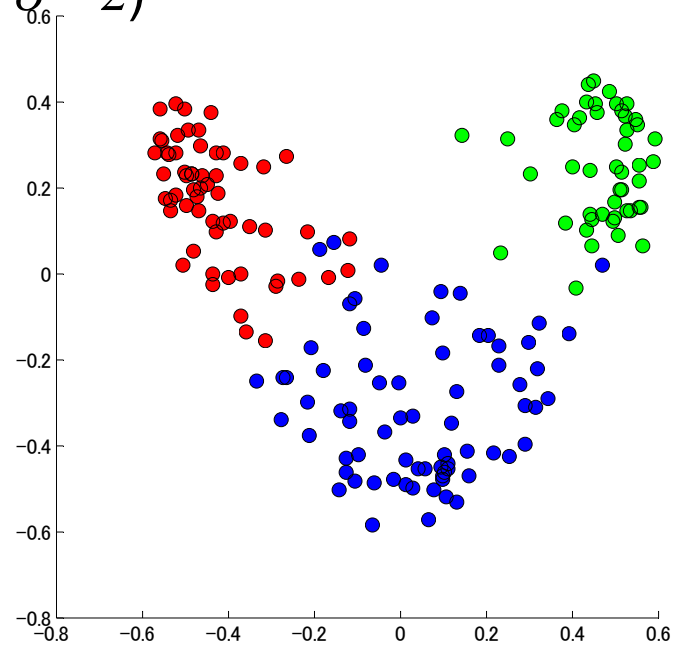
KPCA (Gauss, $\sigma = 3$)



KPCA(Gauss, $\sigma=2$)



KPCA(Gauss, $\sigma=4$)



KPCA(Gauss, $\sigma=5$)

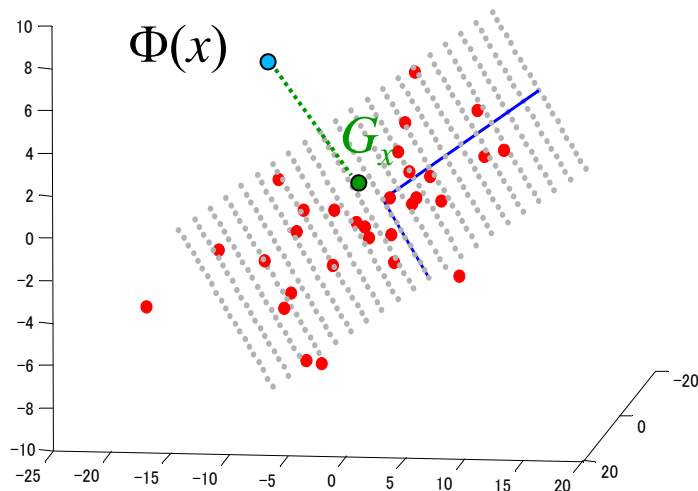
カーネルPCAの雑音除去への応用

- (カーネル)PCAによる雑音除去

高次元の空間のなかで、 d 個の主成分の軸 F_1, F_2, \dots, F_d が張る d 次元部分空間へ、データ $\Phi(x)$ を射影した点を G_x とおく。

雑音除去された特徴ベクトル

G_x に最も近い埋め込み点を探す
(pre-imageの問題)



$$\hat{x} = \arg \min_{x'} \|\Phi(x') - G_x\|^2$$

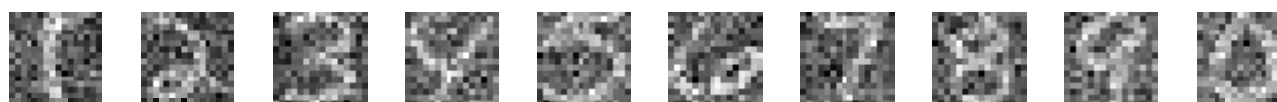
カーネル $k(x_1, x_2)$ を使って表せる

- USPS 手書き数字データベース

16x16画素(256次元) 7291データ



元の画像 (データとしては使用していない)



ノイズつきの画像



ノイズ除去された画像 (linear PCA)



ノイズ除去された画像 (kernel PCA, Gaussカーネル)

Matlab stprtool (by V. Franc) により作成

カーネルPCAの特徴

- 非線形な方向でのデータのばらつきが扱える. $\max_f \text{Var}[f(X)]$
- 結果はカーネルの選び方に依存するので, 解釈には注意が必要
(ガウスカーネルの分散パラメータなど)

どうやって選ぶか? → 必ずしも明確でない, 目的に依存

- 前処理として使われることが多い
後の処理の結果を改良するための非線形特徴抽出

例えば、

カーネルPCA + 識別機(SVM) によるクラス識別問題
→ 最終的な識別の正答率を向上させるカーネルがよい
(Cross-Validationの適用可能)

概要

- Kernel PCAの応用
- Kernel CCA (カーネル正準相関分析)
- サポートベクターマシンの基礎
- カーネル法の方法論
 - 共通する方法
 - Representer定理
- その他の話題
 - カーネルの選択
 - 低ランク近似

正準相関分析

- 正準相関分析 (Canonical Correlation Analysis, CCA)

CCA ... 2種類の多次元データの相関を探る

m 次元データ X_1, \dots, X_N

n 次元データ Y_1, \dots, Y_N

X を a , Y を b 方向に射影したときに相関を最大にする (a, b) を求める

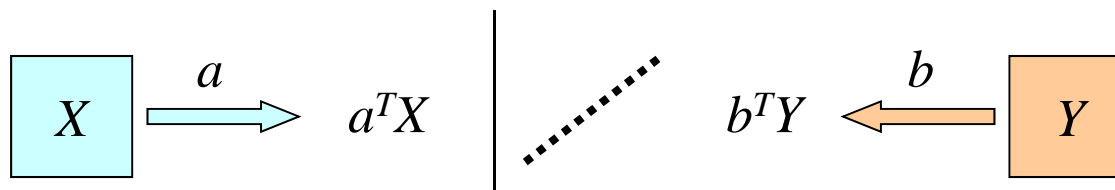
正準相関

$$\rho = \max_{\substack{a \in \mathbf{R}^m \\ b \in \mathbf{R}^n}} \text{Corr}[a^T X, b^T Y] = \max_{\substack{a \in \mathbf{R}^m \\ b \in \mathbf{R}^n}} \frac{\frac{1}{N} \sum_i (a^T \tilde{X}_i)(b^T \tilde{Y}_i)}{\sqrt{\frac{1}{N} \sum_i (a^T \tilde{X}_i)^2} \sqrt{\frac{1}{N} \sum_i (b^T \tilde{Y}_i)^2}}$$

$$= \max_{\substack{a \in \mathbf{R}^m \\ b \in \mathbf{R}^n}} \frac{a^T V_{XY} b}{\sqrt{a^T V_{XX} a} \sqrt{b^T V_{YY} b}}$$

ただし $V_{XY} = \frac{1}{N} \sum_i \tilde{X}_i \tilde{Y}_i^T$
 $\tilde{X}_i = X_i - \frac{1}{N} \sum_j X_j$

など



$$\rho = \max a^T V_{XY} b \quad \text{subj. to} \quad a^T V_{XX} a = b^T V_{YY} b = 1$$



Lagrange乗数法

$$\max a^T V_{XY} b + \frac{\mu}{2} (a^T V_{XX} a - 1) + \frac{\nu}{2} (b^T V_{YY} b - 1)$$



一般化固有値問題

$$\begin{pmatrix} \mathbf{O} & V_{XY} \\ V_{YX} & \mathbf{O} \end{pmatrix} \begin{pmatrix} a \\ b \end{pmatrix} = \rho \begin{pmatrix} V_{XX} & \mathbf{O} \\ \mathbf{O} & V_{YY} \end{pmatrix} \begin{pmatrix} a \\ b \end{pmatrix}$$

$$[\mu = \nu = -\rho]$$

最大固有値, 固有ベクトルを求めればよい

カーネル正準相関分析

- カーネルCCA(赤穂, 2000, Melzer et al. 2001)

- Data: $(X_1, Y_1), \dots, (X_N, Y_N)$.

X, Y : arbitrary variables taking values in Ω_X and Ω_Y (resp.).

- 特徴写像

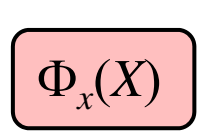
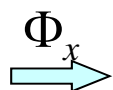
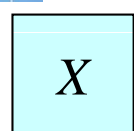
$$\Phi_X : \Omega_X \rightarrow H_X, \quad \Phi_X(X_i) = k_X(\cdot, X_i)$$

$$\Phi_Y : \Omega_Y \rightarrow H_Y, \quad \Phi_Y(Y_i) = k_Y(\cdot, Y_i)$$

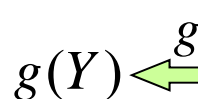
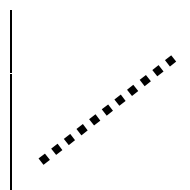
- Apply CCA on $\Phi_X(X_1), \dots, \Phi_X(X_N)$ and $\Phi_Y(Y_1), \dots, \Phi_Y(Y_N)$.

$$\max_{f, g} \text{Corr}[\langle f, \Phi_X(X_i) \rangle, \langle \Phi_Y(Y_i), g \rangle] = \max_{f, g} \text{Corr}[f(X), g(Y)]$$

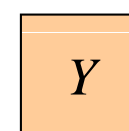
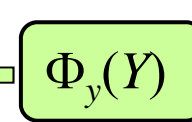
$$= \max \frac{\sum_{i=1}^N \langle f, \tilde{\Phi}_X(X_i) \rangle \langle \tilde{\Phi}_Y(Y_i), g \rangle}{\sqrt{\sum_{i=1}^N \langle f, \tilde{\Phi}_X(X_i) \rangle^2} \sqrt{\sum_{i=1}^N \langle \tilde{\Phi}_Y(Y_i), g \rangle^2}}$$



$f(X)$

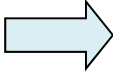


$g(Y)$



'flag'
'sky',

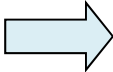
カーネルPCA同様 $f = \sum_{i=1}^N \alpha_i \tilde{\Phi}_X(X_i)$, $g = \sum_{i=1}^N \beta_i \tilde{\Phi}_Y(Y_i)$ としてよい.



 (カーネルトリック)

$$\max_{\substack{\alpha \in \mathbb{R}^N \\ \beta \in \mathbb{R}^N}} \frac{\alpha^T \tilde{K}_X \tilde{K}_Y \beta}{\sqrt{\alpha^T \tilde{K}_X^2 \alpha} \sqrt{\beta^T \tilde{K}_Y^2 \beta}} \quad \tilde{K}_X, \tilde{K}_Y : \begin{array}{l} \text{中心化} \\ \text{グラム行列} \end{array}$$

実は ill-posed. $R(\tilde{K}_X) \cap R(\tilde{K}_Y) \neq \{0\}$ であれば*, 常に正準相関 = 1.



 正則化

$$\max_{f, g} \frac{\frac{1}{N} \sum_{i=1}^N \langle f, \tilde{\Phi}_X(X_i) \rangle \langle \tilde{\Phi}_Y(Y_i), g \rangle}{\sqrt{\frac{1}{N} \sum_{i=1}^N \langle f, \tilde{\Phi}_X(X_i) \rangle^2 + \varepsilon_N \|f\|_{H_X}^2} \sqrt{\frac{1}{N} \sum_{i=1}^N \langle \tilde{\Phi}_Y(Y_i), g \rangle^2 + \varepsilon_N \|g\|_{H_Y}^2}}$$

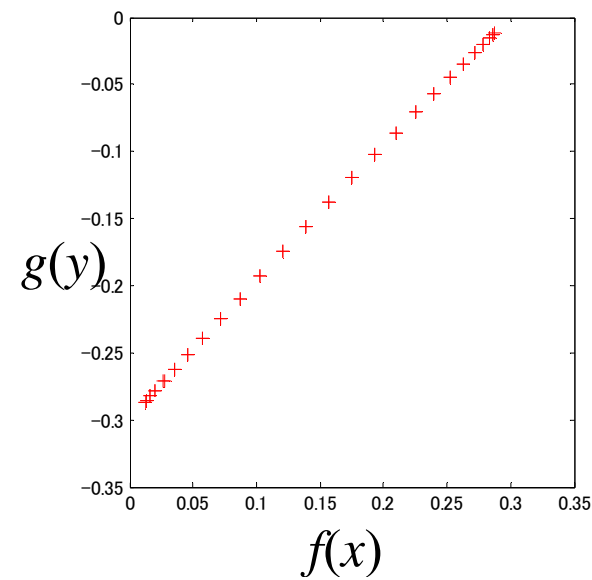
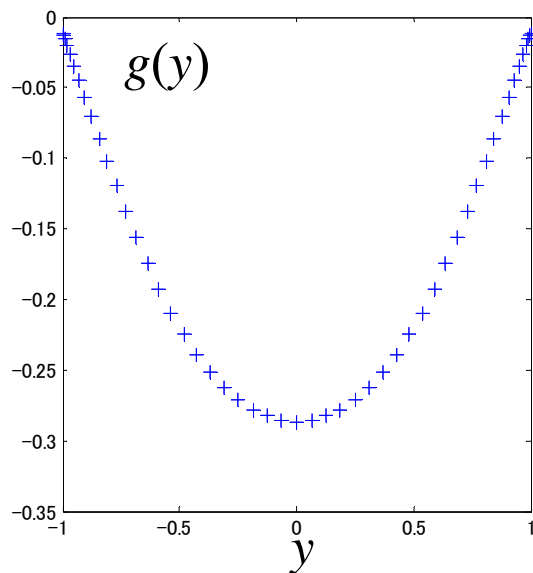
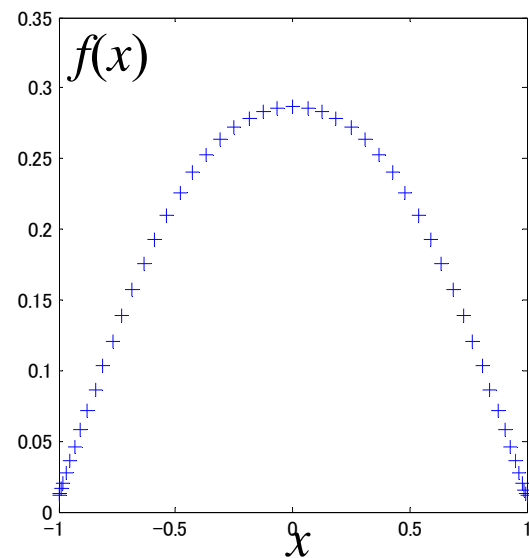
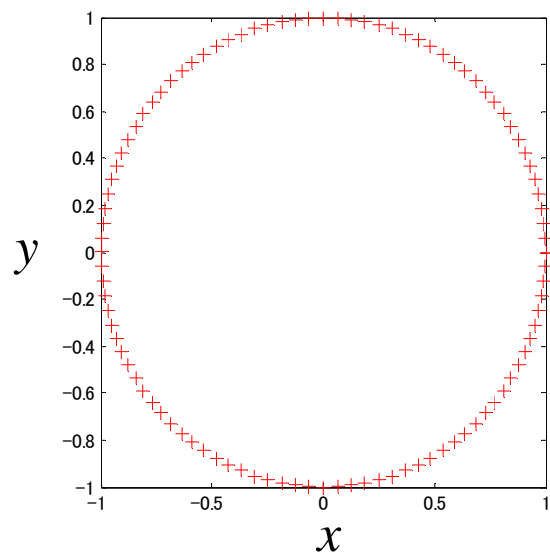
一般化固有値問題として解ける

$$\begin{pmatrix} O & \tilde{K}_X \tilde{K}_Y \\ \tilde{K}_Y \tilde{K}_X & O \end{pmatrix} \begin{pmatrix} \alpha \\ \beta \end{pmatrix} = \rho \begin{pmatrix} (\tilde{K}_X + N\varepsilon_N I_N)^2 & O \\ O & (\tilde{K}_Y + N\varepsilon_N I_N)^2 \end{pmatrix} \begin{pmatrix} \alpha \\ \beta \end{pmatrix}$$

* $R(T)$: 行列 T の像空間

- カーネルCCAの実験例

ガウスクーネル



Kernel CCAの性質

- 複数の固有ベクトルも考えられる(第2, 第3, . . . 固有ベクトル) も考えられる.(もとのデータが1次元でも！)
- 結果はカーネルや正則化係数 ε_N に依存する.
- 正準相関の値によって相関の大小を解釈するのは難しい(正則化のために正規化されない)
- カーネル／正則化係数の選択:
 - Cross-validationが用いられる場合もある.
 - 他に提案されている方法もある(Hardoon et al 2004. See later.).
- ε_N が十分ゆっくり0に近づく場合, 一致性があることが知られている.(Fukumizu et al 2007).

Kernel CCAの画像検索への応用

Idea: d 個の固有ベクトル f_1, \dots, f_d と g_1, \dots, g_d を X と Y の依存性が最も強く表れている特徴空間とみなす.

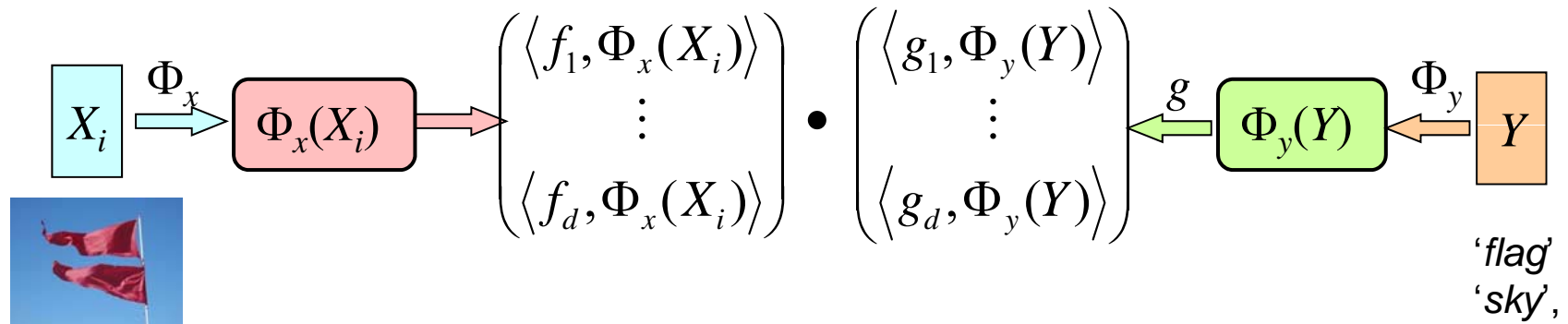
- X : image, Y : text (extracted from the same webpage).

X_i

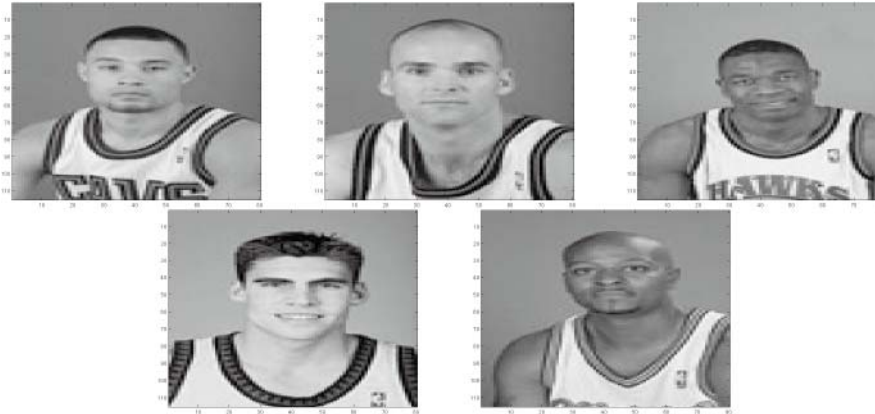


Y_i : 'sky', 'Phoenix', 'harbor', ...

- 方法



– 例



テキストからの画像検索例: "height: 6-11 weight: 235 lbs position: forward
born: september 18, 1968, split, croatia college: none"

Hardoon et al. *Neural Computation* (2004).

- テキスト → “bag-of-words” kernel (単語の頻度分布) を用いる.
- 正則化係数 ε_N の決め方:

$$\varepsilon = \arg \max_{\varepsilon} \|\lambda(\varepsilon) - \lambda_R(\varepsilon)\|$$

$\lambda(\varepsilon)$: KCCAの固有値分布,

$\lambda_R(\varepsilon)$: XとYをランダム化したときのKCCAの固有値分布

概要

- Kernel PCAの応用
- Kernel CCA (カーネル正準相関分析)
- サポートベクターマシンの基礎
- カーネル法の方法論
 - 共通する方法
 - Representer定理
- その他の話題
 - カーネルの選択
 - 低ランク近似

線形識別

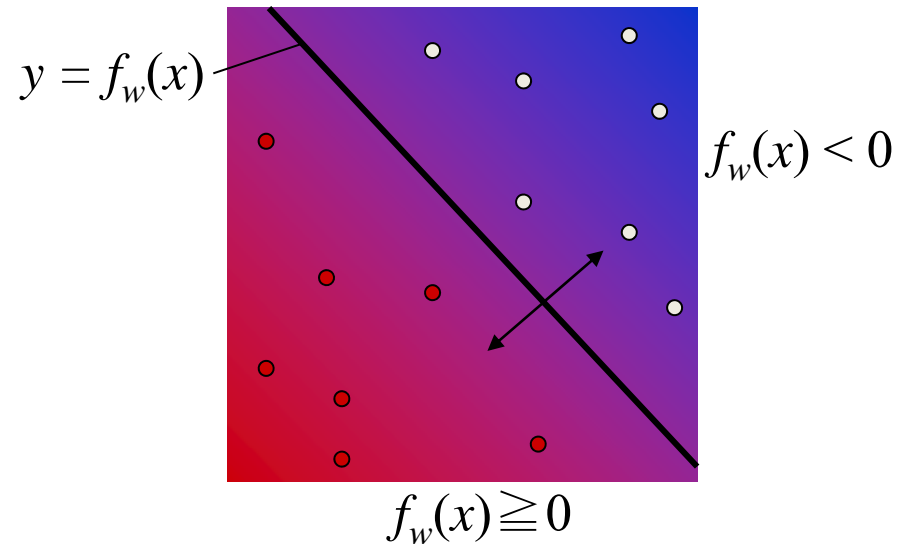
- 2クラス識別問題

- データ $(X^1, Y^1), \dots, (X^N, Y^N)$ $X_i \in \mathbf{R}^m$
 $Y_i \in \{1, -1\}$... 2クラスのクラスラベル

- 線形識別関数

$$f_w(x) = a^T x + b \quad \begin{cases} f_w(x) \geq 0 & \Rightarrow y = 1 \text{ (クラス1)と判定} \\ f_w(x) < 0 & \Rightarrow y = -1 \text{ (クラス2)と判定} \end{cases}$$
$$w = (a, b)$$

- 問題: 未知の x に対しても正しく答えられるように $f_w(x)$ を構成せよ



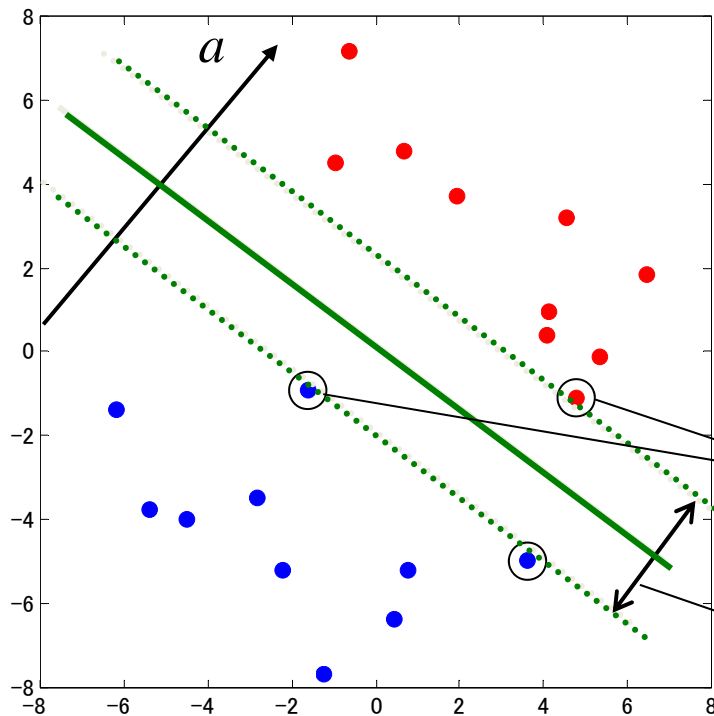
マージン最大化

- 線形のサポートベクターマシン

- 仮定: データは線形分離可能

- ⇒ 学習データを分類する線形識別関数は無数にある。

- マージンを最大化する方向を選ぶ



マージン ... ベクトル a の方向で測った, データの2クラス間の距離.

識別関数は, 2つの境界の真中

サポートベクター

マージン

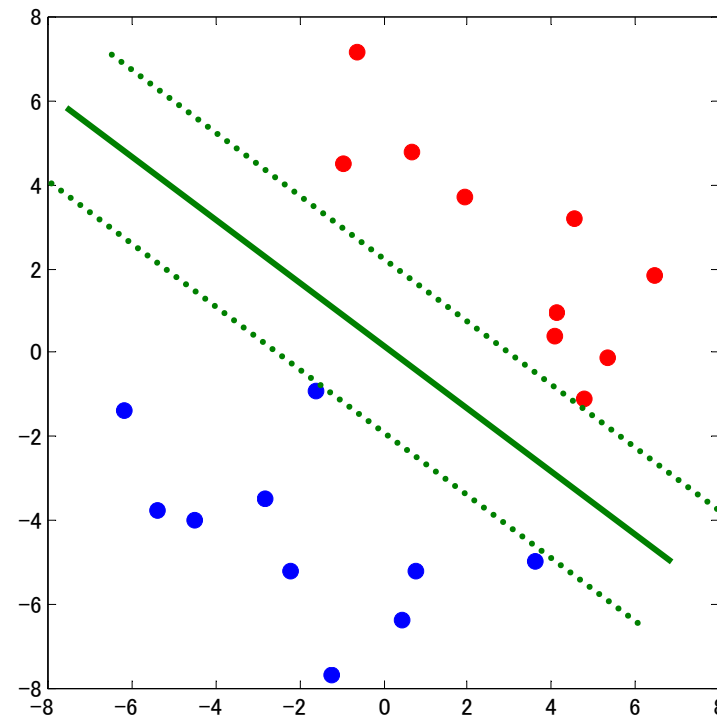
– マージンの計算

(a,b) を正の定数倍しても識別境界は不変なので, スケールを一つ決める

$$\begin{cases} \min(a^T X^i + b) = 1 & Y^i = 1 \text{ のとき} \\ \max(a^T X^i + b) = -1 & Y^i = -1 \text{ のとき} \end{cases}$$



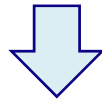
$$\text{マージン} = \frac{2}{\|a\|}$$



サポートベクターマシン:ハードマージン

- マージン最大化基準による識別関数

$$\max_{a,b} \frac{1}{\|a\|} \quad \text{subject to} \quad \begin{cases} a^T X^i + b \geq 1, & \text{if } Y_i = 1 \\ a^T X^i + b \leq -1, & \text{if } Y_i = -1 \end{cases}$$



サポートベクターマシン(ハードマージン)

$$\min_{a,b} \|a\|^2 \quad \text{subject to} \quad Y_i(a^T X^i + b) \geq 1 \quad (\forall i)$$

- 2次最適化 (Quadratic Program, QP)
 - 線形制約のもとでの2次関数の最小化.
 - 凸最適化: 局所最適解の問題がない.
 - 有効なソフトウェアの利用が可能

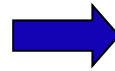
サポートベクターマシン: ソフトマージン

- ソフトマージン

- 線形識別可能の仮定は強すぎるので, 少し弱める

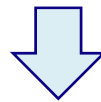
ハードな制約条件

$$Y_i(a^T X^i + b) \geq 1$$



ソフトな制約条件

$$Y_i(a^T X^i + b) \geq \underline{1 - \xi_i} \quad (\xi_i \geq 0)$$



サポートベクターマシン(ソフトマージン)

$$\min_{a, b, \xi_i} \|a\|^2 + C \sum_{i=1}^N \xi_i \quad \text{subject to} \quad \begin{aligned} Y_i(a^T X^i + b) &\geq 1 - \xi_i \\ \xi_i &\geq 0 \end{aligned}$$

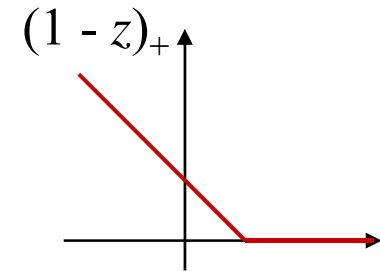
- 上の問題もQP.
- C はユーザが決める必要がある. Cross-validation がよく使われる.

SVMと正則化

- ソフトマージンSVMは以下の正則化問題と同値 ($C = 1/\lambda$)

$$\min_{a,b} \underbrace{\sum_{i=1}^N (1 - Y^i (a^T X_i + b))_+}_{\text{損失関数}} + \underbrace{\lambda \|a\|^2}_{\text{正則化項}}$$

ただし $(z)_+ = \max(z, 0)$



- 損失関数: ヒンジ損失

$$\ell(f(x), y) = (1 - yf(x))_+$$

- [Exercise] ソフトマージンSVMと上の正則化の同値性を確認せよ.

カーネル化されたSVM

- SVMのカーネル化 (kernelization)

- Data: $(X_1, Y_1), \dots, (X_N, Y_N)$

- X_i : 任意の集合 Ω に値を持つ. $Y_i \in \{+1, -1\}$

- 正定値カーネル k による特徴ベクトル

$$X_1, \dots, X_N \rightarrow \Phi(X_1), \dots, \Phi(X_N)$$

- RKHS H における線形識別関数

$$f(x) = \text{sgn}(\langle h, \Phi(x) \rangle + b) = \text{sgn}(\underbrace{h(x) + b}_{\text{非線形関数}}) \quad (h \in H)$$

- マージン最大化

$$\min_{h,b,\xi_i} \|h\|_H^2 + C \sum_{i=1}^N \xi_i \quad \text{subject to} \quad \begin{aligned} Y_i (\langle h, \Phi(X_i) \rangle + b) &\geq 1 - \xi_i \\ \xi_i &\geq 0 \end{aligned}$$

正則化問題として表わすと

$$\min_{h,b} \sum_{i=1}^N \left(1 - Y_i (\langle h, \Phi(X_i) \rangle + b)\right)_+ + \lambda \|h\|_H^2$$

– 最適な h は次の形

$$h(x) = \sum_{i=1}^N w_i \Phi(X_i) = \sum_{i=1}^N w_i k(x, X_i)$$

∴) データ $\{\Phi(X_i)\}$ の張る H の部分空間を H_0 , 直交補空間を H_\perp とするとき,
 $h = h_0 + h_1$ の分解で, 正則化表現第1項は h_0 のみに依存. 第2項は
 $\|h\|^2 = \|h_0\|^2 + \|h_1\|^2$ により $h_1 = 0$ のときが最適.

– Gram行列表現

$$\|h\|_H^2 = w^T K w, \quad \langle h, \Phi(X_i) \rangle = (Kw)_i, \quad K_{ij} = k(X_i, X_j).$$

([Exercise] Check them.)

サポートベクターマシン(カーネル化)

$$\min_{w, b, \xi_i} w^T K w + C \sum_{i=1}^N \xi_i \quad \text{subject to} \quad \begin{aligned} Y_i((Kw)_i + b) &\geq 1 - \xi_i \\ \xi_i &\geq 0 \end{aligned}$$

- この最適化もQP. 標準的ソルバーが使える.
- 実際には, 双対問題を考えることが多い. (2日目で述べる)
- 係数 C とカーネル(あるいはカーネル内のパラメータ)の選択は, cross-validationによることが多い.

補足: 正則化

- 例

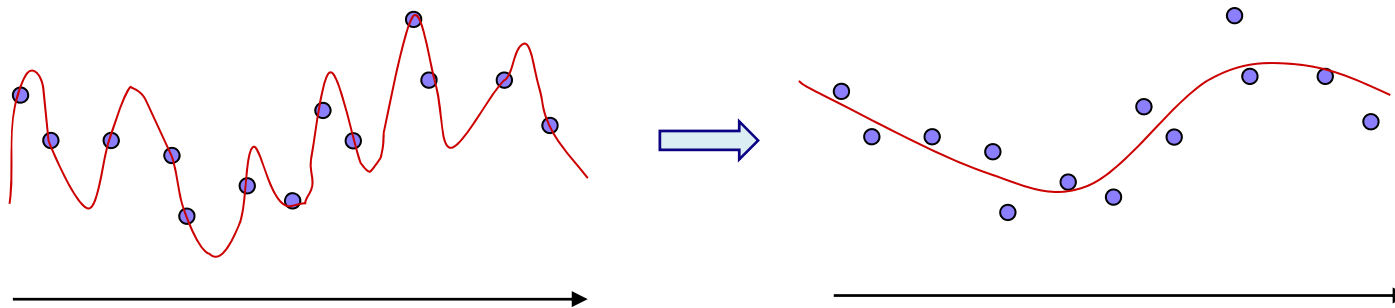
- リッジ回帰: $\min_{f \in H} \sum_{i=1}^N (Y_i - f(X_i))^2 + \lambda \|f\|_H^2$

- SVM: $\min_{b, f \in H} \sum_{i=1}^N (1 - Y_i(f(X_i) + b))_+ + \lambda \|f\|_H^2$

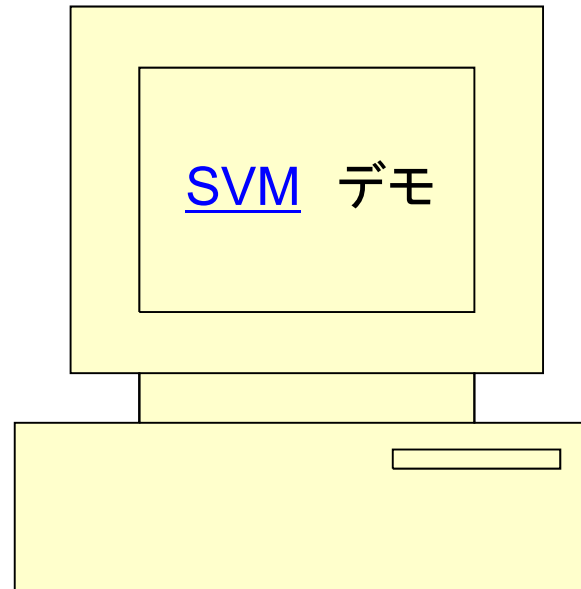
f が多様な関数を取りえると, 第1項目(損失)だけでは解が一意的でない.

⇒ 正則化項(第2項目)の付加

- 正則化項は滑らかさに関係するものが多い(平滑化)



- SVMのJava applet

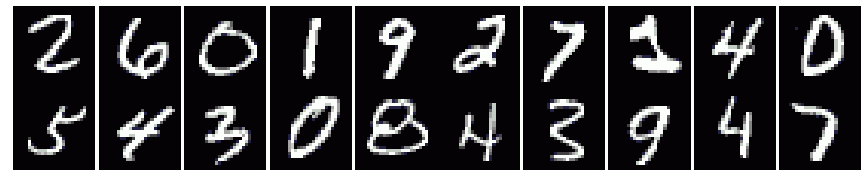


<http://svm.dcs.rhbnc.ac.uk/pagesnew/GPat.shtml>

SVMの文字認識への応用

– MNIST: Handwritten digit recognition

- 28 x 28 binary pixels.
- 60000 training data
- 10000 test data



– Some results

	kNN	10PCA +Quad	RBF +Linear	LeNet-4	LeNet-5	SVM poly4	RS-SVM poly5
Test Err (%)	5.0	3.3	3.6	1.1	0.95	1.1	1.0

LeCun et al. 2001

概要

- Kernel PCAの応用
- Kernel CCA (カーネル正準相関分析)
- サポートベクターマシンの基礎
- **カーネル法の方法論**
 - 共通する方法
 - Representer定理
- **その他の話題**
 - カーネルの選択
 - 低ランク近似

カーネル法導出に共通する構造

- 正定値カーネルの定める特徴写像によるデータの変換

$$X_1, \dots, X_N \rightarrow \Phi(X_1), \dots, \Phi(X_N)$$

高次モーメント／非線形性を抽出

- 特徴ベクトルにRKHS上で「線形の」アルゴリズムを適用.

- 目的関数の最適解は特徴ベクトルの線形和

$$f(x) = \sum_{i=1}^N a_i \Phi(X_i)$$

で与えられることが多い.

- 目的関数は, Gram行列で表現される.

その最適化は各アルゴリズムによって異なる.

(KPCA, KCCA→固有値問題; SVM→QP)

- いったんGram行列が得られれば, 後はデータサイズ N に依る計算量
 - 元の空間の次元などに依存しない. **高次元データに有利.**

Representer Theorem

- 正則化の問題(復習)

- リッジ回帰 $\min_{f \in H} \sum_{i=1}^N (Y^i - f(X^i))^2 + \lambda \|f\|_H^2$

- SVM $\min_{f, b} \sum_{i=1}^N (1 - Y^i (f(X^i) + b))_+ + \lambda \|f\|_H^2$

- 一般化された問題

k : 正定値カーネル, H : k により定まる再生核ヒルベルト空間

$x_1, \dots, x_N, y_1, \dots, y_N$: データ(固定)

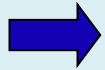
$h_1(x), \dots, h_d(x)$: 固定された関数(SVMの定数 b など)

(*) $\min_{f \in H} L\left(\{x_i\}_{i=1}^N, \{y_i\}_{i=1}^N, \left\{f(x_i) + \sum_{\ell=1}^d b_\ell h_\ell(x_i)\right\}_{i=1}^N\right) + \Psi\left(\|f\|_H^2\right)$
 $(b_\ell) \in \mathbf{R}^d$

Representer Theorem

正則化項の関数 Ψ は, $[0, \infty)$ 上の単調増加関数とする.

$\tilde{H}_N = \text{span}\{k(\cdot, x_1), \dots, k(\cdot, x_N)\}$ $\{k(\cdot, x_i)\}$ の張る N 次元部分空間



(*) の解 f は \tilde{H}_N の中にある. すなわち

$$f(x) = \sum_{i=1}^N \alpha_i k(x, x_i)$$

の形で探してよい.

$$\min_{f \in H} \min_{(b_\ell) \in \mathbf{R}^d} L\left(\{x_i\}_{i=1}^N, \{y_i\}_{i=1}^N, \left\{f(x_i) + \sum_{\ell=1}^d b_\ell h_\ell(x_i)\right\}_{i=1}^N\right) + \Psi\left(\|f\|_H^2\right)$$

$$= \min_{(\alpha_i) \in \mathbf{R}^N} \min_{(b_\ell) \in \mathbf{R}^d} L\left(\{x_i\}_{i=1}^N, \{y_i\}_{i=1}^N, \left\{\sum_{j=1}^N K_{ij} \alpha_j + \sum_{\ell=1}^d b_\ell h_\ell(x_i)\right\}_{i=1}^N\right) + \Psi(\alpha^T K \alpha)$$

$K = (k(x_i, x_j))$: グラム行列

H (無限次元) 上の最適化が N 次元の最適化に還元できる

- Representer theorem の証明

$$\min L\left(\{x_i\}_{i=1}^N, \{y_i\}_{i=1}^N, \left\{f(x_i) + \sum_{\ell=1}^d b_\ell h_\ell(x_i)\right\}_{i=1}^N\right) + \Psi\left(\|f\|_H^2\right)$$

$$H = \tilde{H}_N \oplus H_\perp \quad \text{直交分解}$$

$$f = \tilde{f}_N + f_\perp \quad \langle f_\perp, k(\cdot, x_i) \rangle = 0 \quad (\forall i)$$



- $f(x_i) = \langle f, k(\cdot, x_i) \rangle = \langle \tilde{f}_N + f_\perp, k(\cdot, x_i) \rangle = \langle \tilde{f}_N, k(\cdot, x_i) \rangle = \tilde{f}_N(x_i)$

→ L の値は \tilde{f}_N だけで決まる

- $\|f\|_H^2 = \|\tilde{f}_N\|_H^2 + \|f_\perp\|_H^2$

→ Ψ の値は $f_\perp = 0$ が有利



$f \in \tilde{H}_N$ に最適解がある

(証明終)

概要

- Kernel PCAの応用
- Kernel CCA (カーネル正準相関分析)
- サポートベクターマシンの基礎
- カーネル法の方法論
 - 共通する方法
 - Representer定理
- その他の話題
 - カーネルの選択
 - 低ランク近似

カーネルの選択

- How to choose / design a kernel?

- 問題の構造に適したカーネルを用いるべし (構造化データ: 2日目)
- 教師付き学習 (e.g. SVM) → cross-validation.
- 教師無し学習 (e.g. kernel PCA, kernel CCA) → 理論的に裏付けのある方法はほとんど無いのが現状.

- Suggestion: 関連する教師付学習を作ってCVを使う.
- Gaussian kernelに対するheuristics

$$\sigma = \text{med}\{\|X_i - X_j\| \mid i \neq j\}$$

- カーネル学習

- Multiple kernel learning (MKL):

$$k(x, y) = \sum_{a=1}^M c_a k_a(x, y) \quad \left(\sum_{a=1}^M c_a = 1, c_a \geq 0 \right)$$

の形でカーネルも最適化する。(計算がハード)

補足：教師有り学習と教師無し学習

- 教師有り学習 (Supervised learning)
 - Data for input X and output Y are prepared.
 - Y is regarded as “supervisor” or “teacher” of the learning.
e.g. classification, regression, prediction.

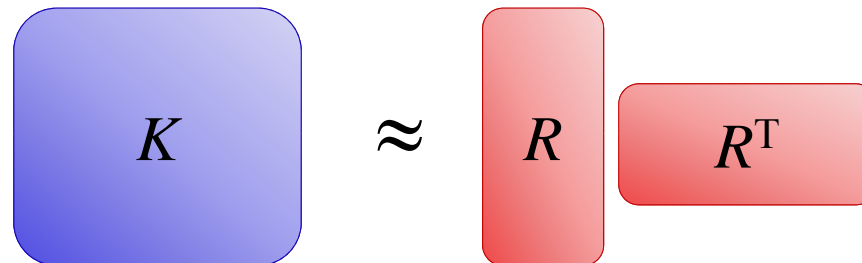
$$X \rightarrow f(X) \approx Y$$

- 教師無し学習 (Unsupervised learning)
 - There is no teaching data Y .
e.g. PCA, CCA, clustering.
- 半教師有り学習 (Semisupervised learning)
 - (X, Y) の訓練データと X のテストデータが事前に与えられている。

グラム行列の低ランク近似

- カーネル法: Gram行列を求めてしまえば, データ数 N に依る計算量 -- もとの空間の次元などに依らない. 高次元データに有利.
- 逆に, データ数 N が大きいと, Gram 行列 K に関する演算は困難.
 - 逆行列, 固有値分解は $O(N^3)$ の演算量必要
- 低ランク近似:

$$K \approx RR^T \quad R: N \times r \text{ 行列 } (r \ll N)$$



- 計算量の大きな削減が可能. 例) kernel ridge regression,

$$\begin{aligned} Y^T (K + \lambda I_N)^{-1} \mathbf{k}(x) &\approx Y^T (RR^T + \lambda I_N)^{-1} \mathbf{k}(x) \\ &= \frac{1}{\lambda} \left\{ Y^T \mathbf{k}(x) - Y^T R (R^T R + \lambda I_r)^{-1} R^T \mathbf{k}(x) \right\}, \end{aligned}$$

演算量 $O(rN + r^3)$.

- 低ランク近似の2つの方法:
 - **Incomplete Cholesky decomposition:**
sample complexity $O(r^2N)$, space complexity $O(rN)$.
 - **Nyström approximation:** random sampling + eigendecomposition.
- Gram行列は, 多くの微小な固有値を持つことが多く, 低ランク近似の方法が有効.

その他のカーネル法

- カーネルFisher判別分析 (kernel FDA) (Mika et al. 1999)
- カーネルロジスティック回帰 (Roth 2001, Zhu&Hastie 2005)
- カーネル Partial Least Square (kernel PLS) (Rosipal&Trejo 2001)
- カーネル K-means クラスタリング (Dhillon et al 2004)
- SVMの仲間
 - Support vector regression (SVR, Vapnik 1995)
 - ν -SVM (Schölkopf et al 2000)
 - one-class SVM (Schölkopf et al 2001)

セクション3のまとめ

- さまざまな線形解析手法のカーネル化 が可能 ← 効率的な内積計算
 - Kernel PCA, SVM, kernel CCA, etc.

- 最適解は多くの場合, 特徴ベクトルの線形和

$$f(x) = \sum_{i=1}^N a_i \Phi(X_i)$$

で与えられる (representer theorem).

- 問題は, データサイズ N のGram行列によって表現される.
 - 高次元で, 中程度までのデータサイズに適している.
 - データサイズが大きい場合には, 低ランク近似が有効.
- 正定値カーネルさえ定義されれば, 任意のデータ型に適用可能.
structured (non-vectorial) data, such as graphs, strings, etc

参考文献

- 赤穂. (2000) カーネル正準相関分析. 第3回情報論的学習理論ワークショップ予稿集 (IBIS2000).
- Bach, F.R. and M.I. Jordan. (2002) Kernel independent component analysis. *Journal of Machine Learning Research*, 3:1–48.
- Dhillon, I. S., Y. Guan, and B. Kulis. (2004) Kernel k-means, spectral clustering and normalized cuts. Proc. 10th ACM SIGKDD Intern. Conf. Knowledge Discovery and Data Mining (KDD), 551–556.
- Fukumizu, K., F.R. Bach, and A. Gretton. (2007) Statistical consistency of kernel canonical correlation analysis. *Journal of Machine Learning Research*, 8:361–383.
- Hardoon, D.R., S. Szedmak, and J. Shawe-Taylor. (2004) Canonical correlation analysis: An overview with application to learning methods. *Neural Computation*, 16:2639–2664.
- LeCun, Y., L. Bottou, Y. Bengio, and P. Haffner. (2001) Gradient-based learning applied to document recognition. In Simon Haykin and Bart Kosko, eds, *Intelligent Signal Processing*, 306–351. IEEE Press.

- Melzer, T., M. Reiter, and H. Bischof. (2001) Nonlinear feature extraction using generalized canonical correlation analysis. *Proc. Intern. Conf. Artificial Neural Networks (ICANN)*, 353–360.
- Mika, S., G. Rätsch, J. Weston, B. Schölkopf, and K.-R. Müller. (1999) Fisher discriminant analysis with kernels. In Y.-H. Hu, J. Larsen, E. Wilson, and S. Douglas, edits, *Neural Networks for Signal Processing, volume IX*, 41–48. IEEE.
- Murphy P.M. and D.W. Aha. (1994) UCI repository of machine learning databases. *Tech report*, UC Irvine, Dept Information and Computer Science. <http://www.ics.uci.edu/~mlearn/MLRepository.html>
- Rosipal, R. and L.J. Trejo. (2001) Kernel partial least squares regression in reproducing kernel Hilbert space. *Journal of Machine Learning Research*, 2: 97–123.
- Roth, V. Probabilistic discriminative kernel classifiers for multi-class problems. In *Pattern Recognition: Proc. 23rd DAGM Symposium*, 246–253. Springer, 2001.
- Schölkopf, B., A. Smola, and K-R. Müller. (1998) Nonlinear component analysis as a kernel eigenvalue problem. *Neural Computation*, 10:1299–1319.

Schölkopf, B., A. Smola, R.C. Williamson, and P.L. Bartlett. (2000) New support vector algorithms. *Neural Computation*, 12(5):1207–1245.

Schölkopf, B., J.C. Platt, J. Shawe-Taylor, R.C. Williamson, and A.J. Smola. (2001) Estimating the support of a high-dimensional distribution. *Neural Computation*, 13(7):1443–1471.

Vapnik, V.N. *The Nature of Statistical Learning Theory*. Springer 1995.